
SSNP166 - Poutre entaillée en flexion trois points

Résumé :

L'étude de ce problème permet de caractériser l'énergie nécessaire à la propagation d'une fissure dans une poutre en béton. Il permet de valider la loi de comportement `CZM_EXP_MIX` par comparaison à l'expérience du comportement global Force-Déplacement d'une poutre entaillée sur deux appuis simple.

Il correspond à l'un des essais expérimentaux de la thèse de Per-Erik Peterson [bib1].

1 Problème de référence

1.1 Géométrie

Pour valider la loi cohésive `CZM_EXP_MIX` plus spécifique aux matériaux quasi-fragiles, on modélise une poutre entaillée en béton soumise à de la flexion 3 points, en s'appuyant sur les données expérimentales de la thèse de P.-E. Peterson [bib1]. Cet essai fait en effet partie des références expérimentales les plus fréquentes pour valider les modèles d'endommagement surfacique ou volumique du béton.

Une poutre de longueur 2 m , de hauteur 200 mm et d'épaisseur 50 mm , entaillée en son milieu sur 100 mm (la moitié de la hauteur de la poutre) est en appui simple sur ses deux extrémités.

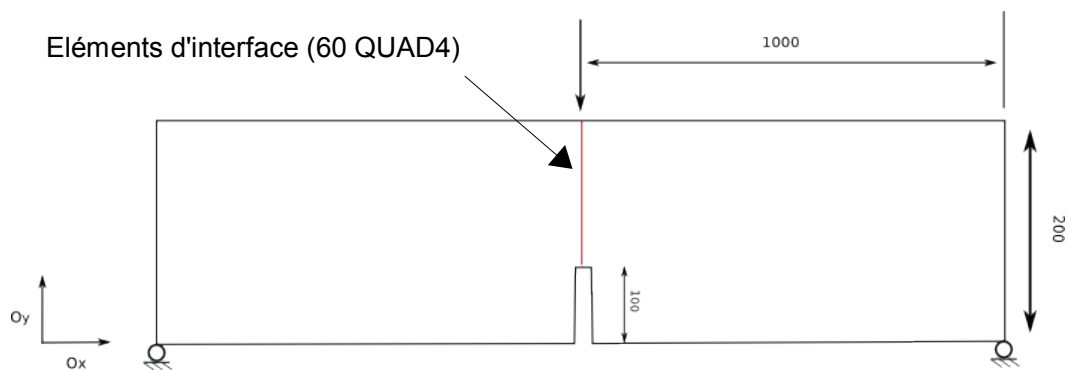


Figure 1 : Représentation de la Poutre en flexion 3 points. L'épaisseur est de 50 mm

1.2 Propriétés du matériau

La loi utilisée est la loi `CZM_EXP_MIX`.

Les paramètres matériaux sont définis sous les mot-clés `RUPT_FRAG` ou `RUPT_FRAG_FO`

Module d'Young: $E = 30\text{ GPa}$

Coefficient de Poisson $\nu = 0.2$

Densité d'énergie de surface critique G_c : `GC = 137 N/m`

contrainte critique σ_c : `SIGM_C = 3,3 MPa`

Pénalisation du lagrangien `PENA_LAGR = 300`

Rigidité du glissement `RIGI_GLIS = 10` (valeur par défaut)

1.3 Conditions aux limites et chargements

Encastrement : Les déplacements imposés suivant Oy sont nuls aux 2 points d'appuis (`GROUP_NO` : `CL1` et `CL2`). On bloque le déplacement suivant Ox sur l'un des deux appuis.

Déplacement : On applique un déplacement imposé suivant Oy au dessus de la fissure (`GROUP_NO` : `Dpl`).

2 Solution de référence

2.1 Résultat Expérimental

La solution de référence est la courbe expérimentale issue de la thèse de Peterson [1] visible sur la Figure 2. Il s'agit de la force exercée sur la poutre en fonction du déplacement du centre de la poutre suivant l'axe Oy

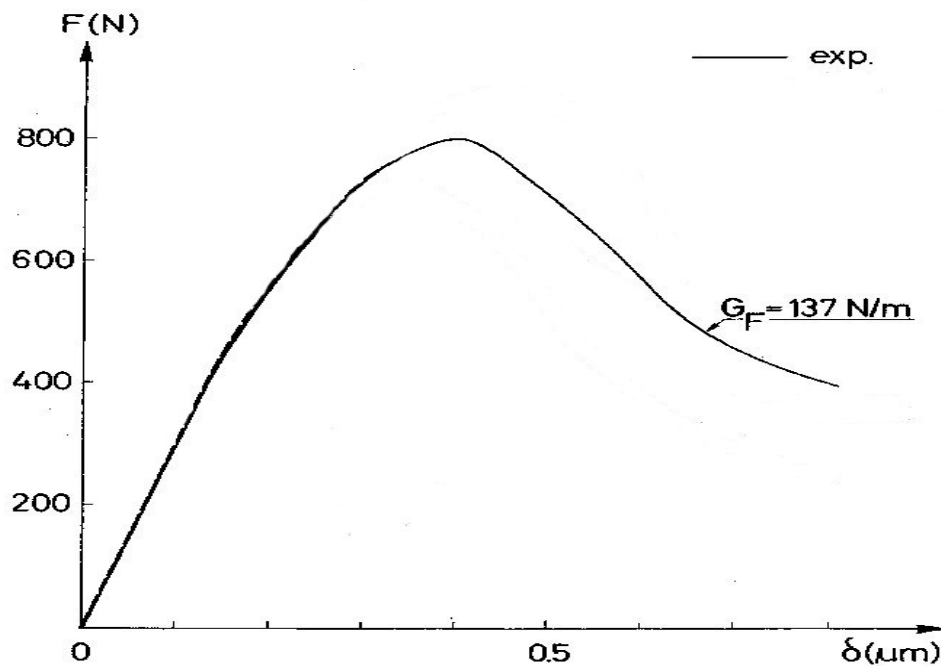


Figure 2 : Résultats expérimentaux pour deux types de béton [1]

Remarque :

La Figure 2 est un graphe extrait de la Thèse de P-E. Petersson. Elle comporte une erreur sur l'échelle en déplacement. L'ouverture est en millimètre et non en micromètre.

2.2 Référence Bibliographique

- [1] Thèse de Per-Eric Petersson : « Crack growth and development of fracture zones in plain concrete and similar materials »

3 Modélisation A

3.1 Caractéristiques de la modélisation

Modélisation en déformations planes `D_PLAN` pour l'élément élastique et `PLAN_INTERFACE` pour les éléments d'interface

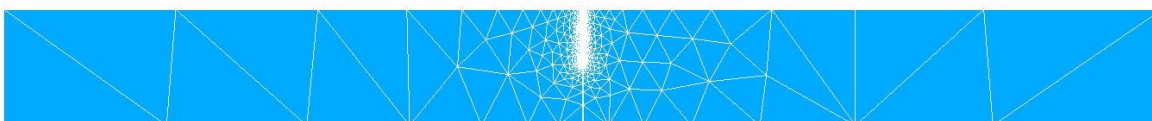


Figure 3 : Maillage la poutre

3.2 Caractéristiques du maillage

Nombre de nœuds : 3000
1400 TRIA3
67 QUAD4

3.3 Grandeurs testées et résultats

On teste la force résultante et l'ouverture de la fissure à deux instants : incrément 9 près du pic et incrément 15 dans la zone post-pic.

Grandeur testée	Référence	Tolérance (%)
Force à l'incrément 9	7,78D+02	0,46
Ouv à l'incrément 9	3.65D-01	6e-3
Force à l'incrément 15	5.92D+02	1,08
Ouv à l'incrément 15	6.07D-01	0,08

4 Synthèse des résultats

La loi exponentielle permet de retrouver le pic de l'essai expérimental avec une erreur inférieure à 2 % ainsi que la courbe post-pic contrairement à une loi cohésive linéaire.